

خاستگاه و ویژگیهای زمین‌ساختی توده گرانیتوییدی بروجرد (باخته ایران)

نوشته: احمد احمدی خلجی^{*}، دکتر داریوش اسماعیلی^{*} و دکتر محمدولی ولیزاده*

The Source and Tectonic Characteristics of the Boroujerd Granitoid Mass (western Iran)

By: A. Ahmadi Khalaji*, Dr. D. Esmaeily* & Dr. M.V. Valizadeh*

چکیده

توده گرانیتوییدی بروجرد به سن ژوراسیک میانی در زون ساختاری سنتنچ-سیرجان قرار دارد. این توده دارای طیف ترکیبی از کوارتزدیوریت و گرانودیوریت تا مونزو-گرانیت بوده که در سنگهای دگرگونی ناحیه‌ای (فیلیتهای همدان) تزریق شده است. معیارهای محاسباتی برای تمایز گرانیتوییدهای کوهزایی از ناکوهزایی که بر روی پارامترهای معرفی شده انجام گرفته است، نشان می‌دهد که این توده با داشتن $R>0$ مشخصه گرانیتوییدهای کوهزایی را دارد. به عنوان مثال، ویژگیهای ژئوشیمیایی غنی شدگی از Cs, K, Rb, U, Th (LILEs) نسبت به Nb (HFSEs) و Ta، تهی شدگی از عناصر P, Ba, Sr, Ti, $\text{Th}/\text{Yb}(>5)$ مطابق با بالا بودن نسبتهای $\text{La}/\text{Yb}(>10)$ داشتن ویژگی مربوط به گرانیتهای نوع I، کالکوآلکالن، پتانسیم بالا، متاآلومین تا کمی پرآلومین و ... نشان می‌دهند که این توده در ارتباط با یک زون فرورانش و در موقعیت کمان آتشفسانی آن تشکیل شده است. افزون بر آن، فرایندهای آغشتنگی پوسته‌ای نیز در تغییر ویژگی اولیه ماگماها که کم و ییش در مناطق فرورانش متداول است، در سنگهای این توده نقش مهمی داشته‌اند.

نمودارهای تعیین محیط زمین ساختی نیز نشان می‌دهد که این توده از نوع گرانیتهای کمان آتشفسانی (VAG) است و گمان می‌رود که در پیوند با پدیده فرورانش صفحه اقیانوسی نوتیس به زیر ورقه قاره‌ای سکوی ایران حاصل شده باشد.

کلید واژه‌ها: بروجرد، ژوراسیک میانی، سنتنچ-سیرجان، گرانیتوییدهای کوهزایی، قوس آتشفسانی، فرورانش

Abstract

Boroujerd granitoid mass belongs to Sanandaj – Sirjan zone (SSZ). It consists of granodiorites, quartz diorites and monzogranites. The country rocks into which the Boroujerd granitoid was emplaced consist of greenschist rocks of the regional metamorphism.

The statistical technique of discriminant analysis, using major element differences alone, shows that this mass has characteristics of orogenic granitoids ($R>0$). The Boroujerd granitoid has geochemical characteristics typical of arc intrusives e.g. I-type, high-K calc-alkaline series, metaluminous to weakly peraluminous, a greater enrichment in LILEs (Cs, K, Rb, U, Th) compared to HFSEs (Nb, Ta), depletion in Sr, Ba, P and Ti relative to other trace elements. High $\text{Th}/\text{Yb}(>5)$ ratios correlated to high values (>10 , up to ca. 100) for La/Yb and plot as volcanic arc granites on various discriminant diagrams. This granitoid is a typical representative of a volcanic arc environment, spatially related to an active continental margin. Crustal contamination processes provide a further complication in the interpretation of the Boroujerd rocks. The rarity of primitive magma compositions in arcs, particularly continental margin arcs, points to the important and consistent role of such processes. Probably, Boroujerd granitoid is the result of the subduction of Neo-Tethyan oceanic plate below the Iranian microcontinent.

Keywords: Boroujerd, Middle Jurassic, Sanandaj- Sirjan, Orogenic granitoids, Volcanic arc, Subduction

- مقدمه

این زون، مرتبط با زایش اقیانوس نوتیس است که در طی چهار مرحله انجام گرفته است (Mohajjal et al., 2003):

منطقه بروجرد، جزئی از بخش شمالی زون دگرگون شده سنتنچ-سیرجان است (شکل ۱) که تکامل زمین ساختی آن همانند بخش‌های دیگر

رخساره شیست سبز گسترش فراوانی دارند (نبوی، ۱۳۵۵) اما در نقاطی که توده های نفوذی جایگزین شده اند، اثر گرمایی آنها به اثر گرما- جنبشی موجود افروده شده و درجه دگرگونی بالا رفته است.

چینه شناسی ناحیه موردن مطالعه با میکاشیست، مرمر، متادولومیت و متاریولیتهای پالئوزویک آغاز می گردد. واحد آتشفسانی - رسوبی پرمین بالایی، آهک و دولومیتهای بلورین چرت دار پرموترباس با درون لایه هایی از شیستهای سبز و سپس بخش های سنگهای آتشفسانی دگرگون شده و توف، آتشفسانی - رسوبی و مرمر ترباس، واحد های چینه شناسی بعدی ناحیه را تشکیل می دهند (رادفر، ۱۳۶۶). بالاترین بخش از ردیف دگرگونی را شیستهای پلیتی موسوم به فیلیتهای همدان تشکیل می دهند که تحت تأثیر دگرگونی ناحیه ای در حد شیست سبز قرار گرفته اند. نهشته های آهکی دگرگون شده روی این فیلیتها، حاوی آمونیتها با سن توآرسین (اوخر ژوراسیک پیشین) می باشند (واعظی پور و افلمی، ۱۳۶۳). بنابراین، سن نهشته شدن فیلیتها، ترباس پسین - ژوراسیک پیشین در نظر گرفته می شود (رادفر، ۱۳۶۶). مهم ترین رویداد زمین شناسی این منطقه، پیدایش توده گرانیتوئیدی در زمان ژوراسیک میانی (قادری و همکاران، ۱۳۸۳) است که در درون این فیلیها نفوذ کرده و دگرگونی هم بری در اثر نفوذ آن به وقوع پیوسته است. دو نوع دگرگونی ناحیه ای و هم بری در منطقه رخ داده است که فیلیتهای همدان حاصل دگرگونی ناحیه ای شیلها را پلیتی ژوراسیک است و دگرگونی هم بری با گسترش محدود رخ توده گرانیتوئیدی به وقوع پیوسته است. در اثر گرمای ناشی از نفوذ این توده، درجه دگرگونی تا حد رخساره پر و کسن هورنفلس پیش رفته است (احمدی، ۱۳۷۸). در بخش جنوبی توده، دگرگونی هم بری به دلیل گسلی بودن، ناقص یا دیده نمی شود کردیبریت دار که به اسلیت و زونهای کلریت و بیوتیت ختم می شود، وجود دارد. ولی در بخش شمالی توده، میگماتیتهای تزریقی (Ashworth, 1985) و هورنفلسها و زون سیلیمانیت - پتاسیم - فلدسپار دیده می شوند (احمدی، ۱۳۷۸؛ ۱۹۹۷).

۳- سنگ شناسی

توده گرانیتوئیدی بروجرد ۱۸۰ تا ۲۰۰ کیلومتر مربع وسعت داشته و همانند بیشتر توده های نفوذی موجود در زون سنتنگ - سیرجان، دارای روند شمال باخته - جنوب خاور است (شکل ۲). از نظر سنگ شناسی، طیفی از خانواده گرانیتوئیدها (کوارتزدیبوریت، گرانودیبوریت، مونزو گرانیت) را می توان در این توده یافت و یک جهت یافته ای باز ناشی از جهت یافته ای کانیها (بویژه بیوتیت) در آنها دیده می شود. با توجه به شواهد کانی شناسی،

۱- تشکیل تیس در ترباس ۲- فرورانش صفحه اقیانوسی تیس در امتداد حاشیه شمال خاوری در زمان ژوراسیک - میوسن ۳- فرارانش افیولیتها در امتداد حاشیه شمال خاوری صفحه عربی در زمان کرتاسه ۴- برخورد حاشیه شمال خاوری صفحه عربی با ایران مرکزی در زمان میوسن. از سوی دیگر (Berberian & King, 1981) وجود دگرگونی و ماگماتیسم کالک آلکالن در طول زون سنتنگ - سیرجان در زمان مزوزویک را نشانگر توسعه کمان ماگمایی در طی فرورانش از زمان ترباس به شمار می آورند.

در این بخش از زون سنتنگ - سیرجان، ساختارهای مختلف زمین شناسی اعم از دگرگونی، ماگمایی و کوهزایی، تحت تأثیر چندین فاز زمین ساختی قرار داشته اند که از میان آنها، رویدادهای زمین ساختی مرتبط با زمان مزوزویک، اهمیت بیشتری دارند. نخستین رویداد زمین ساختی مزوزویک در زون سنتنگ - سیرجان که از آن به عنوان سیمیرین پیشین یاد می شود، در اوخر ترباس میانی رخ داده است. دومین رویداد زمین ساختی، پیش از بازوسین بالایی (ژوراسیک میانی) رخ داده که مانند رویداد اول از نوع کوهزایی بوده و سیمیرین میانی نام گرفته است. این رویداد با چین خوردگی، جایگیری توده های نفوذی و دگرگونی همراه بوده است. به عقیده (Berberian, 1972) این بخش از زون سنتنگ - سیرجان، بیش از دیگر نقاط تحت تأثیر عملکرد کوهزایی سیمیرین قرار گرفته است به گونه ای که در اوخر ژوراسیک، باعث دگرگونی شدیدی شده است. اگرچه رویداد کوهزایی سیمیرین پسین را به اوخر ژوراسیک نسبت می دهند، ولی مطالعات اخیر بیانگر حرکاتی است که طی ژوراسیک میانی در ایران رخ داده است و باید خاطر نشان کرد که روى هم رفته، ایران در تمام ژوراسیک از آرامش برخوردار نبوده است (Berberian & Nogol, 1974, Berberian & King, 1981).

توده گرانیتوئیدی بروجرد با سن ۱۶۹ تا ۱۷۲ میلیون سال که به روش U-Pb زیرکن این سنگها به دست آمده است (قادری و همکاران، ۱۳۸۳)، در قلمرو توده های نفوذی مرتبط با کوهزایی سیمیرین میانی قرار می گیرد. این توده از جهت خاستگاه و محیط زمین ساختی اهمیت قابل توجهی دارد. لذا در این مقاله، با استفاده از داده های ژئوشیمیابی، سنگ شناسی و صحرایی به بررسی محیط زمین ساختی آن پرداخته می شود.

۴- زمین شناسی عمومی

بیشتر سنگهای برونزدیافه در زون سنتنگ - سیرجان مربوط به مزوزویک است و نهشته های مربوط به پالئوزویک به ندرت در قسمت شمال باخته و تا حدودی در قسمت جنوب خاوری، گزارش شده است (Berberian, 1977؛ سبزه بی، ۱۳۷۱). در این زون، سنگهای دگرگونی با

محاسباتی (Agrawal 1995) است که با استفاده از درصد اکسیدهای عناصر اصلی سنگ صورت می‌گیرد.

(Agrawal, 1995) با استفاده از روش تحلیل چند متغیره برروی اکسیدهای عناصر اصلی سنگها، توانست گرانیتوئیدهای کوهزایی را از گرانیتوئیدهای ناکوهزایی تفکیک کند. معادله تفکیک خطی به دست آمده

توسط وی عبارت است از:

$$D_i = B_{YX} + B_{2X^2} + \dots + B_{pXP} + B_0$$

در این فرمول، D_i عدد تفکیک، B ضریب ثابت تفکیک و X درصد عناصر اصلی و B_0 عدد ثابت می‌باشد. در جدول ۲ مقادیر ثابت مذکور را به شده است. پس از محاسبه ضریب تفکیک (D_i) باید قانون میانگین R از طریق فرمول زیر محاسبه شود:

$$R = \frac{(D_i - C_i)}{(M_i - C_i)}$$

در این فرمول، D_i عدد تفکیک به دست آمده در مرحله اول و M_i و C_i ضرایب ثابتی هستند که برای انواع گرانیتوئیدها به دست آمده و در جدول ۲ ارائه شده‌اند. به این ترتیب اگر $R > 0$ به دست آمد، توده گرانیتوئیدی از نوع کوهزایی و اگر $R < 0$ شد، ناکوهزایی تلقی می‌شود. نتایج محاسبات انجام شده برای نمونه‌های مورد مطالعه در جدول ۳ ارائه شده است. همان طور که ملاحظه می‌شود، مقادیر R برای سنگهای مورد مطالعه بزرگ‌تر از صفر و بنابراین توده گرانیتوئیدی بروجرد در ارتباط با فرایندهای کوهزایی تشکیل شده است.

همچنین (Batchelor & Bowden 1985) برپایه تغییرات عناصر اصلی نمودار R1-R2 را به منظور تفکیک محیط زمین ساختی گرانیتوئیدها ارائه کرده‌اند. در این نمودار، گرانیتوئیدها به گروههای گوشه‌ای، پیش از برخورد، پس از برخورد، انتهای کوهزایی، ناکوهزایی، همزمان با برخورد و پس از کوهزایی تفکیک شده‌اند. در نمودار شکل ۳، بیشتر نمونه‌های مورد مطالعه در محدوده ۲ یعنی در قلمرو گرانیتوئیدهای پیش از برخورد قرار می‌گیرند.

۴-۲- استفاده از عناصر فرعی

به منظور تعیین محیط زمین ساختی توده‌های گرانیتوئیدی، نمودارهای مختلفی براساس عناصر فرعی توسط محققان ارائه گردیده است. یکی از رایج‌ترین این نمودارها، نمودارهای Pearce et al. (1984) است که در آنها گرانیتوئیدها از لحاظ جایگاه زمین ساختی به چهار گروه: گرانیتوئیدهای پشته میان اقیانوسی (ORG)، گرانیتوئیدهای کمان آتشفسانی (VAG)، گرانیتوئیدهای درون صفحه‌ای (WPG) و گرانیتوئیدهای همزمان با برخورد (Syn-COLG) تقسیم می‌شوند. همان‌طور که ملاحظه

این جهت یافته‌گری منشأ ماقمایی ندارد و در حالت جامد و دمای بالا، در اثر عملکردهای زمین ساختی حاصل شده است و می‌توان آن را در ارتباط با زونهای برشی موجود در منطقه دانست. در حاشیه شمالی این توده، پنهانهای عظیمی به طول ۱۰ و عرض ۱/۵ کیلومتر از پگماتیت همراه با زونهایی از گرانیز بن وجود آمده است.

گرانوپوریتها بخش عمده توده را تشکیل داده و ترکیبی نسبتاً همگن مشتمل از پلاژیوکلاز، کوارتز، بیوتیت و فلدسپار قلایای دارند. سوگیری نشان‌دهنده عملکرد فشارهای زمین ساختی بر روی این سنگهاست. کانیهای فرعی شامل آپاتیت، زیرکن و آلانیت است. کوارتزپوریتها غالباً ارتفاعات منطقه را تشکیل داده و با رنگ تیره‌تر و با درصد ایزومتری بالاتر پلاژیوکلاز، بیوتیت و آمفیبول از گرانوپوریتها متمایز می‌شوند. آپاتیت، اسفن و زیرکن عمده کانیهای فرعی این سنگها را تشکیل می‌دهند.

مونزو گرانیتیها به صورت توده‌های کوچک و با توپوگرافی پست تر عمدتاً در حاشیه جنوبی توده اصلی بروجرد بروند دارند. رنگ روشن، کمبود نسبی بیوتیت و حضور گستردگی پرتیت از ویژگی این نوع سنگهاست. بالاخره، دایکهای فلزیک با ترکیب آپاتیت و پگماتیتی با روند شمال باخته - جنوب خاور توده نفوذی و سنگهای میزان راقطع کرده‌اند که در واقع نماینده فازهای پایانی فعالیت ماقمایی در منطقه هستند.

۴- جایگاه زمین ساختی- ماقمایی

به منظور بررسی ویژگیهای ژئوشیمیایی و تعیین جایگاه زمین ساختی - ماقمایی توده گرانیتوئیدی بروجرد، تعداد ۳۴ نمونه از انواع سنگهای مورد مطالعه، در آزمایشگاه ALS Chemex کانادا مورد تجزیه شیمیایی قرار گرفته است (جدول ۱) که با استفاده از نرم افزارهای IGPE و NEWPET پردازش گردیده و نتایج حاصل بر روی نمودارهای مختلف منتقل شده‌اند. در این اینجا سعی می‌شود تا با استفاده از ژئوشیمی عناصر اصلی و فرعی کوهزایی یا ناکوهزایی بودن این توده و محیط زمین ساختی استقرار آن تعیین گردد.

۴-۱- استفاده از عناصر اصلی

نخستین قدم برای مطالعه محیط زمین ساختی توده‌های گرانیتوئیدی، تعیین این مسئله است که تشکیل آنها در ارتباط با فرایندهای کوهزایی یا ناکوهزایی صورت گرفته است. بدین منظور، روشهای مختلفی توسط محققان ابداع شده است. یکی از روشهای جالب در این زمینه، روش

گروه III: توده‌های نفوذی کالک‌آلکالن مربوط به اواخر برخورد یا پس از برخورد که حدود ۵۰ میلیون سال پس از تزریق توده‌های نفوذی گروه II در پوسته جایگزین می‌شوند.

گروه IV: توده‌های نفوذی نیمه عمیق قلایابی پس از برخورد، که منشأ آنها از سنگ کره گوشته‌ای در مناطق برخوردی است.

توده گرانیتوئیدی بروجرد با توجه به ماهیت کالک‌آلکالن (شکل ۵) نمی‌تواند متعلق به گروه IV باشد و برای تفکیک دیگر گروههای مذکور، از نمودارهای ارائه شده در شکل ۶ استفاده می‌شود. در این نمودارهای سنگهای مورد مطالعه در محدوده کمان آتشفسانی (VA) یا گروه I قرار می‌گیرند که با قلمرو گرانیتوئیدهای پیش از برخورد (Batchelor and Bowden, 1985) همپوشانی دارد.

علاوه بر این، تغییرات عناصر فرعی که نسبت به فراوانی آنها در کندریت عادی شده‌اند، بهوضوح بی‌هنگاری منفی عناصر Nb, Ba, Sr, Ta, Ti و P که خاص توده‌های گرانیتوئیدی کالک‌آلکالن کمان می‌باشد (Sajona et al., 1996; Rogers & Hawkesworth, 1989; Floyd & Wincheste, 1975)

را نشان می‌دهند و LILEs مانند Cs, K, Rb, U, Th (سنگهای مورد مطالعه بی‌هنگاریهای هم ثبت وهم منفی از Th که خاص محیطهای کمان است را نشان می‌دهند) نسبت به HFSEs بیوژن Nb و Ta غنی شدگی نشان می‌دهند (شکل ۷). به عبارت دیگر، عناصر فرعی دارای نقاط بیشینه و کمینه‌ای هستند که اختلاف بین آنها زیاد بوده و نشانگر محیطهای در ارتباط با فرورانش می‌باشد زیرا رسوبات و مایعات همراه آنها می‌توانند باعث غنی شدگی غیرعادی عتاصر فرعی شوند (Sajona et al., 1996; Rogers & Hawkesworth, 1989; Floyd & Wincheste, 1975).

بی‌هنگاری منفی Nb-Ta نیز نشانگر نقش پوسته در تولید ماقما است و شاخص مناطق مرتبط با فرورانش و حواشی فعال قاره‌ای می‌باشد (Wilson, 1989)

همچنین بالا بودن نسبتهای Th/Yb (>5) مطابق با بالا بودن نسبتهای La/Yb (>100 تا <100) نشان می‌دهند (شکل ۸) که این توده متعلق به ماگماهای فلزیک کمان قاره‌ای است (Condie, 1989) و نمودارهای ماگماهای دریابار Yb (Gorton & Schandl, 2000) و نسبت لگاریتمی Th/Ta دریابار Yb (Schandl & Gorton, 2002) در برابر نسبت لگاریتمی Yb/Th در برابر نسبت لگاریتمی Yb/Ta (Schandl & Gorton, 2002) نیز بیانگر تشکیل این توده در محدوده حاشیه فعال قاره‌ای هستند (شکل ۹ و ۱۰).

۵- بحث

به دلیل پیچیدگی زیاد تاریخچه سنگ‌شناختی گرانیتوئیدها و همچنین دشواری دستیابی به نمونه‌های گرانیتوئیدی مربوط به جایگاههای

می‌شود در نمودار Σ در برابر Nb (شکل ۴)، سنگهای مورد مطالعه در محدوده مشترک VAG (گرانیتهای کمان آتشفسانی) و Syn-CLOG (همزمان با برخورد) قرار می‌گیرند. برای تفکیک این دو از هم، نمودارهای دیگری معرفی شده است که در شکل ۴ ارائه گردیده و براساس آنها نمونه‌های مورد مطالعه درون قلمرو VAG و بهمندرت در محدوده مرز بین VAG و Syn-CLOG قرار گرفته‌اند. از طرف دیگر، ویژگیهای همچون دارا بودن بیوتیت و هورنبلند، متا‌آلومین تا کمی پر‌آلومین بودن و داشتن ویژگیهای گرانیتهای نوع I (احمدی و همکاران، ۱۳۸۴) از جمله شواهدی هستند که نشان می‌دهند توده گرانیتوئیدی بروجرد در چنین محیط زمین ساختی تشکیل شده است.

توجه به این نکته، مهم است که استفاده از نمودارهای Pearce et al. (1984) و دیگر نمودارهای ژئوشیمیایی برای تعیین محیط زمین ساختی گرانیتوئیدها باید با احتیاط صورت گیرد، زیرا گاهی عواملی مانند ترکیب شیمیایی سنگ منشأ یا تحولات ماقمایی ممکن است بر آن تأثیر داشته باشند. به عنوان مثال، با توجه به مطالعات Froster et al. (1997) نمونه‌های متعلق به کمانهای نابالغ در نیمه پایین محدوده VAG و سریهای حد واسط (اکیانوس-قاره‌ای) در بالای محدوده VAG قرار می‌گیرند. همچنین سنگهای مربوط به ماقماییسم کمان نسبت به Syn-COLG ماقماییسم حاصل از برخورد کمان-قاره (که نزدیک مرز Syn-COLG واقع می‌شوند)، در بخش‌های پایینی قلمرو VAG قرار گرفته‌اند. نمونه‌های مورد مطالعه نزدیک مرز Rb با مقدار Syn-COLG بالا، بیانگر نقش زیاد پوسته در فرایند تولید ماقمای اولیه است. علاوه بر این، وجود سنگهای منشأ نابالغ یا پایین بودن میزان تفریق ماقما سبب می‌شود که گرانیتوئیدهای Syn-COLG در محدوده VAG قرار گیرند. در رژیم برخوردی کمان-قاره اگر تنشهای کششی سنگهای قدیمی کمان را تحت تأثیر قرار دهند، سنگهای حاصل ممکن است ویژگیهای محیط VAG را نشان دهند، یا زمانی که رژیم کششی به حوضه پشت کمانی انتقال یابد (درون قاره)، سنگها در محدوده WPG قرار می‌گیرند.

همچنین Harris et al. (1986) با استفاده از عناصر فرعی، توده‌های گرانیتوئیدی را از لحاظ محیط زمین ساختی به چهار گروه به قرار زیر تقسیم کرده‌اند:

گروه I: توده‌های نفوذی کالک‌آلکالن پیش از برخورد که در حاشیه فعال قاره‌ها و در نتیجه فرورانش صفحه اکیانوسی به زیر صفحه قاره‌ای تشکیل می‌شوند.

گروه II: توده‌های نفوذی پر‌آلومین همزمان با برخورد (لوکو گرانیتها) که معادل گرانیتهای تیپ S (Chappell & White, 1974) بوده و از ذوب بخشی سنگهای پوسته‌ای تشکیل می‌شوند.

فاز کوهزایی سیمیرین میانی (آقاباتی، ۱۳۷۱) در طی ژوراسیک میانی حاصل شده است.

۶- نتیجه‌گیری

با توجه به آنچه بحث شد نتایج زیر حاصل می‌شود:

- معیارهای محاسباتی انجام گرفته توسط (Agrawal 1995) جهت تمايز گرانیتوییدهای کوهزایی از ناکوهزایی برای توده گرانیتوییدی بروجرد نشان می‌دهد که این توده با داشتن $R < 0$ مشخصه گرانیتوییدهای کوهزایی را دارند.

- داده‌های ژئوشیمیایی، کانی‌شناسی و صحرایی نشان می‌دهند که تشکیل توده گرانیتوییدی بروجرد در ارتباط با فرورانش بوده است و علاوه بر آن فرایندهای آغشتنگی پوسته‌ای نیز در تغییر ویژگی اولیه مانگماها که کم و بیش در مناطق فرورانش امری متداول است، نقش مهمی داشته‌اند.

- الگوهای REE بهنجار شده به کندریت، همانند سنگهای فلزیک کالک‌آلکالن تشکیل شده در حاشیه‌های فعال قاره‌ای است و نمودارهای تفکیک محیط‌های زمین‌ساختی استفاده شده نیز ارتباط محیط تشکیل توده گرانیتوییدی مورد مطالعه را با فرورانش و کمان آتشفسانی (VAG) نشان می‌دهند.

- نتایج به دست آمده با دیدگاه عمومی در مورد وجود کمان مانگمایی کالک‌آلکالن سنتدج - سیرجان در حاشیه فعال ایران مرکزی در زمان مژوزویک سازگار بوده و نشان می‌دهد که توده گرانیتوییدی بروجرد به احتمال در پیوند با فرورانش صفحه اقیانوسی نوتیس به زیر پوسته قاره‌ای سکوی ایران و به سبب فعالیت فاز کوهزایی سیمیرین میانی در طی زمان ژوراسیک میانی حاصل شده است.

تشکر و قدردانی

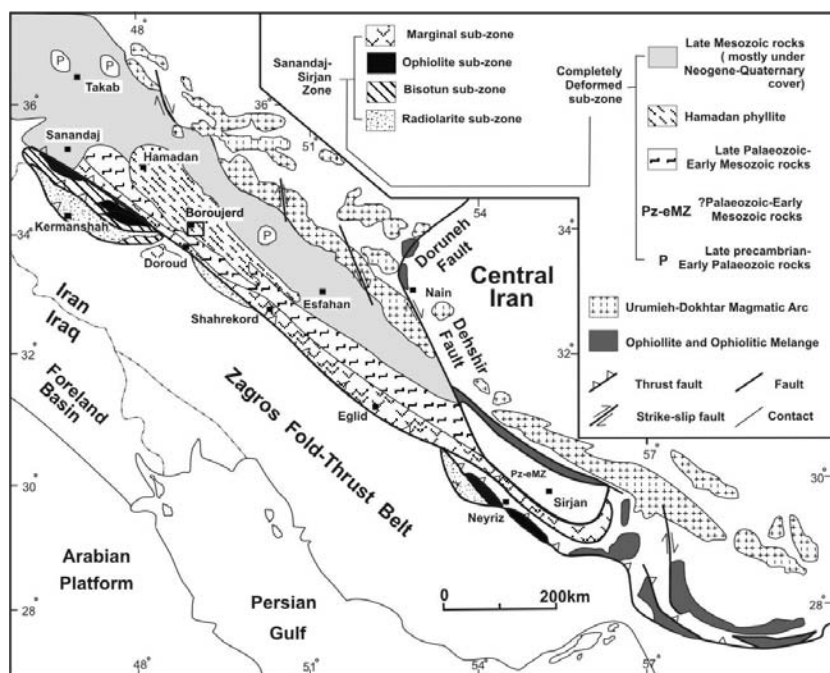
هزینه این پژوهش از محل اعتبار حوزه معاونت محترم پژوهشی دانشگاه تهران در قالب طرح تحقیقاتی مانگماتیسم و دگرگونی منطقه ازنا - بروجرد تأمین گردیده است که بدین وسیله از آن معاونت محترم تقدیر و تشکر می‌گردد.

زمین ساخته شده، گرانیتوییدهای نسبت به بازالتها از نظر جایگاه زمین ساختی کمتر مورد توجه قرار گرفته‌اند و به رغم پیشرفت‌های اخیر در فهم فرایندهای مانگماتی در استفاده از ژئوشیمی عناصر، فرایندها و مواد منشأ سنگهای گرانیتوییدی نوع I ، کالک‌آلکالن، پتانسیم بالادر هاله‌ای از ابهام است. با این حال برای چنین گرانیتوییدهایی، مانند توده گرانیتوییدی بروجرد که از نوع I (احمدی و همکاران ۱۳۸۴)، کالک‌آلکالن (شکل ۵) و پتانسیم بالا (شکل ۱۱) می‌باشد، دو موقعیت زمین ساختی پیشنهاد شده است (Clemens & Roberts, 1993) :

۱- موقعیت کمان قاره‌ای شبیه کوههای آند (Pitcher, 1987) ۲- موقعیت‌های همزمان تاپس از برخورد مشابه کالدلونیا (Pitcher, 1987). از سوی دیگر ویژگیهای ژئوشیمیایی مانگماتی حاشیه قاره‌ای یا کمان آتشفسانی نشان می‌دهد که آنها در طی فرایندهای متفاوتی نسبت به دیگر موقعیت‌های زمین ساخته شده‌اند، به گونه‌ای که این مانگماها از LILES غنی شدگی و از HFSEs تهی شدگی نشان می‌دهند. غنی شدگی از LILES می‌تواند به خاطر فرورانش رسوبات باشد که البته ترکیب این رسوبات از محلی به محل دیگر ممکن است متفاوت باشد. بنابراین فهم زایش مانگما در کمانهای قاره‌ای مشکل است و چندین سازنده (گوه گوشته‌ای، پوسته اقیانوسی فرورونده، رسوبات فرورانش شده، پوسته قاره‌ای وغیره) و فرایندهای آبردایی صفحه فرورونده، جریان گوشته سست کره‌ای، ذوب بخشی با گسترش‌های متفاوت، هضم پوسته‌ای وغیره) ممکن است در زایش طیف ترکیبی وسیع آنها دخالت نماید (Sajona et al., 1996; Rogers & Hawkesworth, 1989 ; Floyd & Wincheste, 1975).

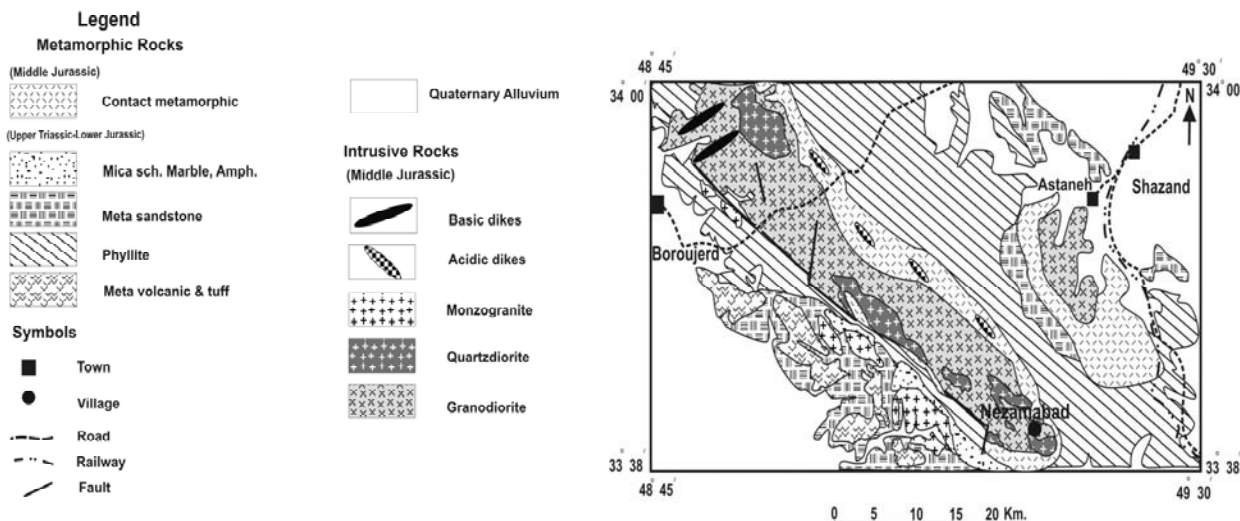
به هر حال داده‌های ژئوشیمیایی، کانی‌شناسی و صحرایی موجود نشان می‌دهند که توده گرانیتوییدی بروجرد به گرانیت‌های مرتبط با فرورانش شباهت داشته و به نظر می‌رسد در منطقه کمان آتشفسانی تشکیل شده باشد، لذا مدل اول برای توده گرانیتوییدی بروجرد منطقی تر به نظر می‌رسد.

این نتایج، با مدل عمومی (Berberian 1983) و (Shahabpour 2005) (شکل ۱۲) در تطابق خوبی هستند که پیشنهاد می‌کنند در طی مژوزویک، در حاشیه فعال ایران مرکزی (HASHIYE SHMALL XAWORI TESIS) یک کمان آتشفسانی (کمان مانگماتی کالک‌آلکالن سنتدج - سیرجان) وجود داشته است، بنابراین توده گرانیتوییدی بروجرد به احتمال در پیوند با فرورانش صفحه اقیانوسی نوتیس به زیر پوسته قاره‌ای سکوی ایران و به سبب فعالیت



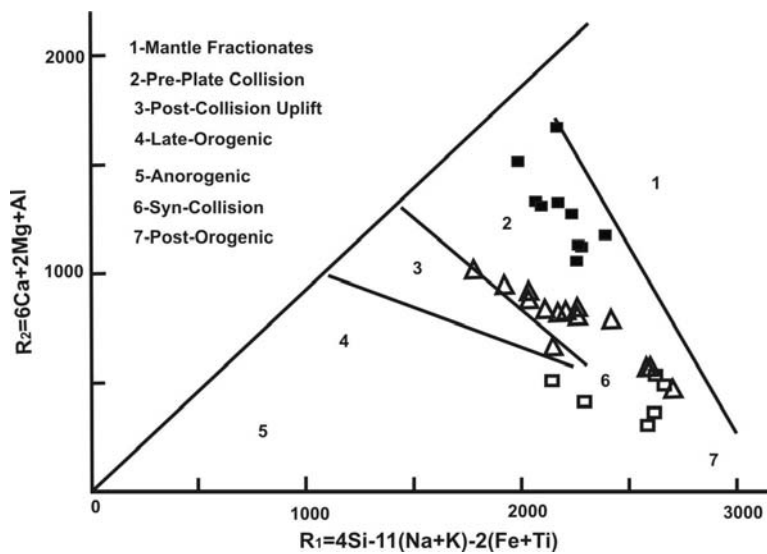
شکل ۱ - موقعیت زمین ساختی زونها در باخته ایران (Mohajjal et al. 2003)

موقعیت منطقه مورد مطالعه با علامت □ نشان داده شده است.

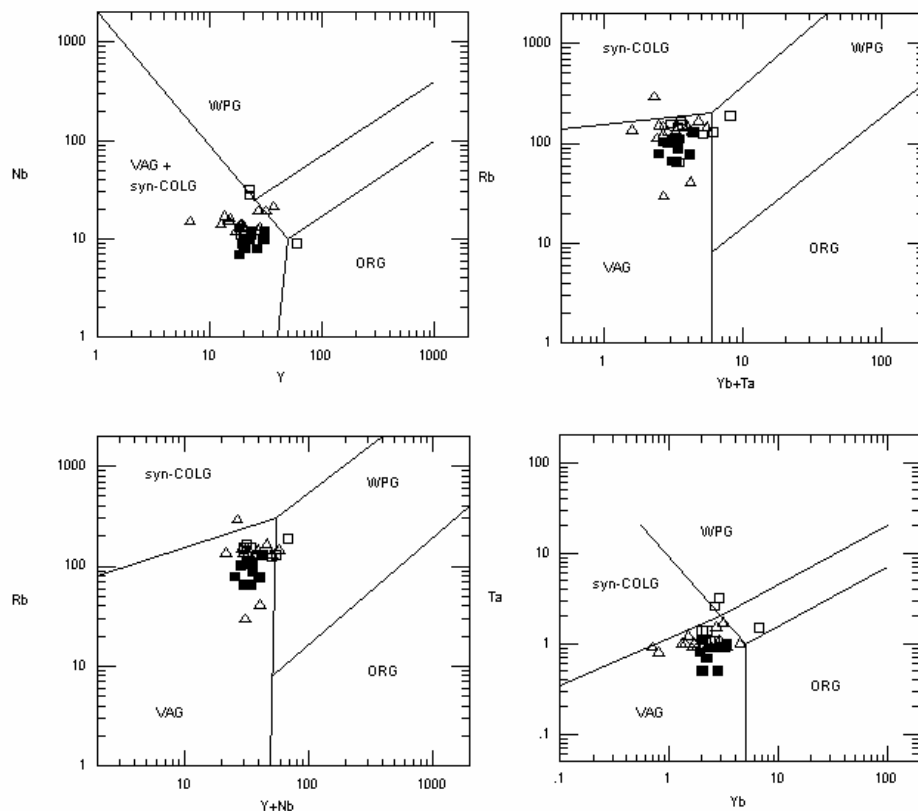


شکل ۲ - نقشه ساده زمین شناسی منطقه مورد مطالعه

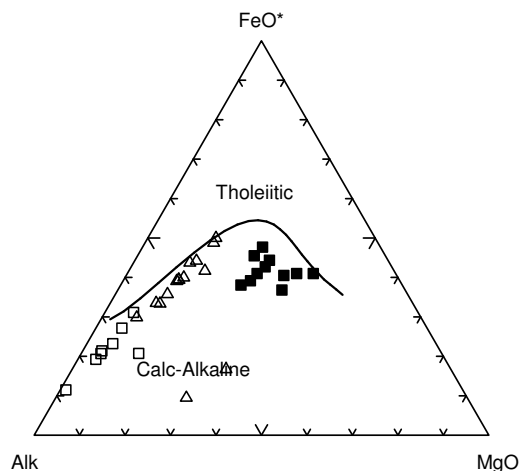
(سهیلی، ۱۳۷۱ با اندکی تغییرات).



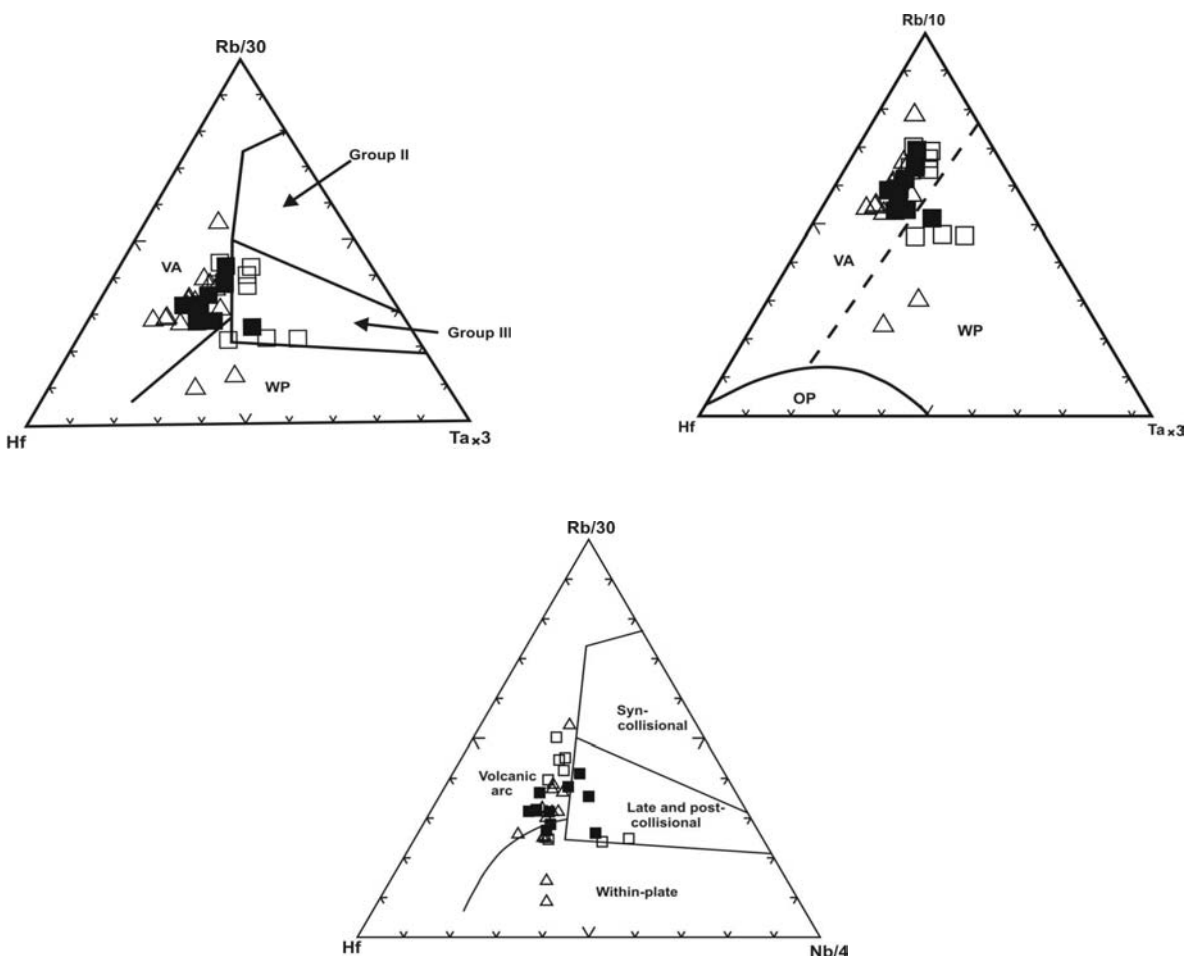
شکل ۳- تمایز انواع گرانیتوئیدهای کوهزایی و ناکوهزایی بر اساس پارامترهای چند کاتیونی R_1 و R_2 . ■ : کوارتزدیوریت، □: مونزونو-گرانیت، Δ: گرانودیوریت (Batchelor and Bowden, 1985)



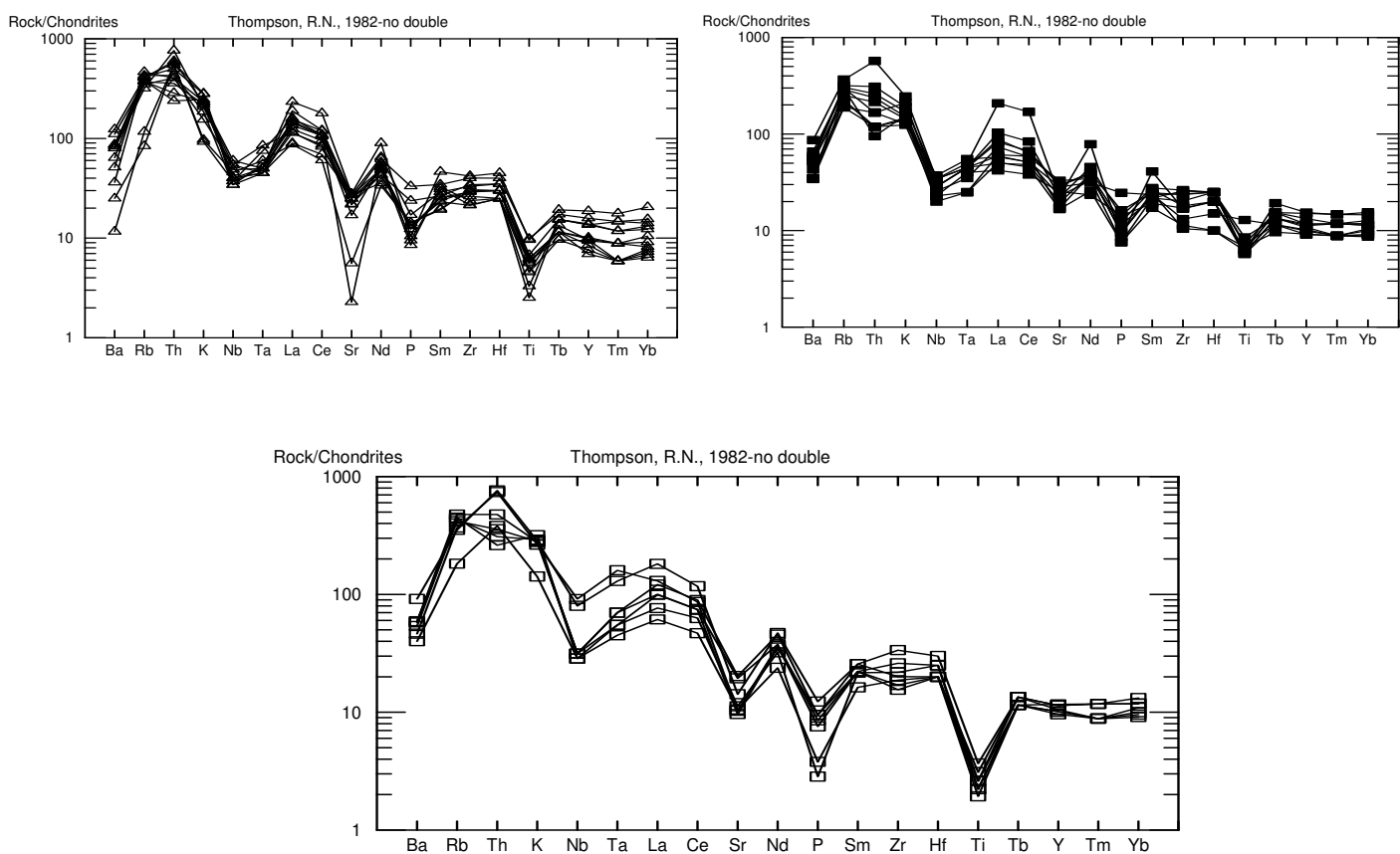
شکل ۴- نمودارهای تفکیک محیط زمین ساختی گرانیتوئیدها (Pearce et al., 1984). (علائم مشابه شکل ۳). VAG (گرانیتوئیدهای کمان آتشفسانی)؛ Syn-CLOG (گرانیتوئیدهای همزمان با برخورد)؛ WPG (گرانیتوئیدهای درون صفحه‌ای)؛ ORG (گرانیتوئیدهای پشته میان اقیانوسی). اغلب نمونه‌های مورد مطالعه در محدوده کمان آتشفسانی (VAG) قرار می‌گیرند.



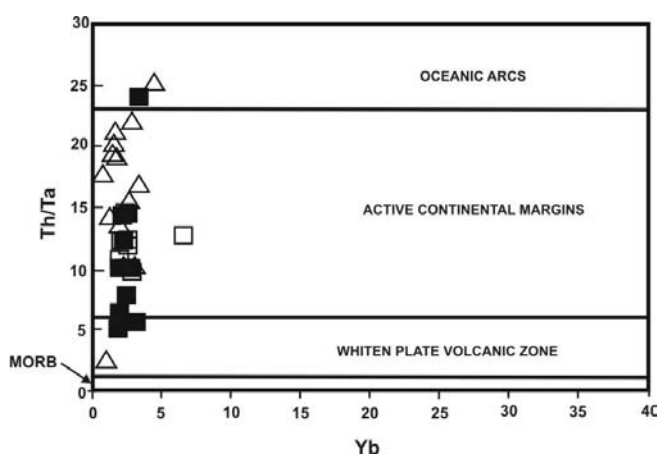
شکل ۵- نمودار مثلثی AFM که در آن سریهای کالکوآلکالن از تولئیتی جدا شده‌اند (Irvine & Baragar, 1971).



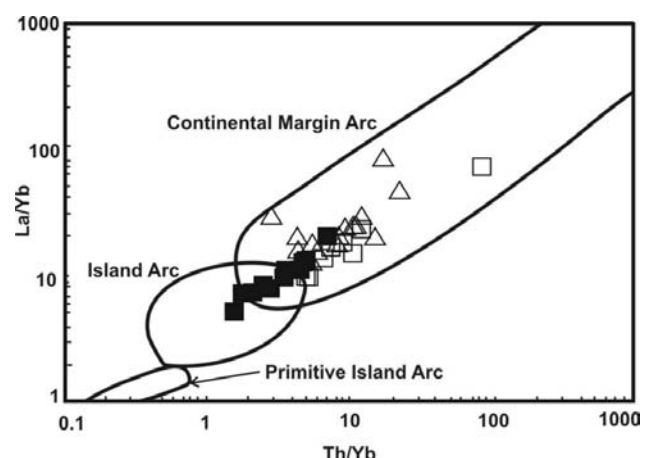
شکل ۶ - تقسیک انواع گرانیتوئیدها براساس عناصر فرعی (Harris et al. 1986). همان طور که ملاحظه می‌شود بیشتر نمونه‌های مورد مطالعه در محدوده کمان آتشفسانی قرار می‌گیرند. (علامه مشابه شکل ۳). (علامه مشابه شکل ۳).



شکل ۷ - نمودار عنکبوتی فراوانی عناصر فرعی بهنجار شده به کندریت (Thompson, 1982). (علاوه مشابه شکل ۳).

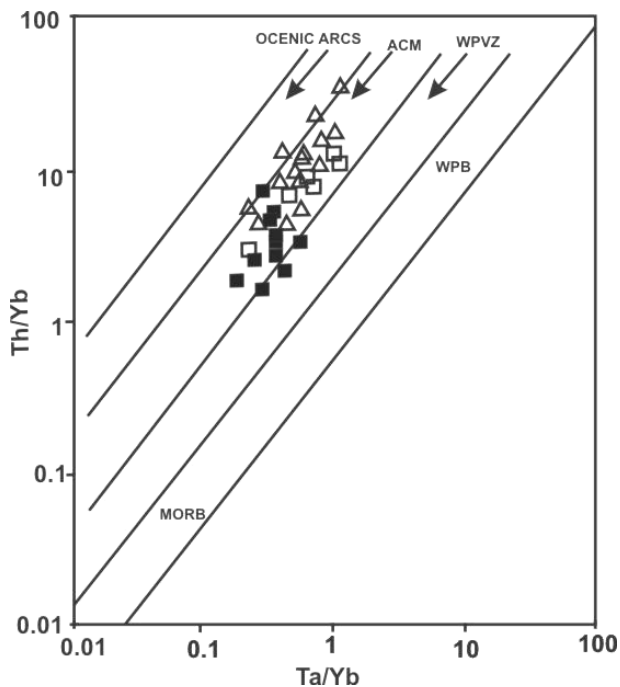


شکل ۹- نمودار Th/Ta در برابر Yb (Gorton & Schandl, 2000) در این نمودار، نمونه‌های منطقه مورد مطالعه در محدوده حاشیه فعال قاره‌ای واقع شده‌اند. (علاوه مشابه شکل ۳).

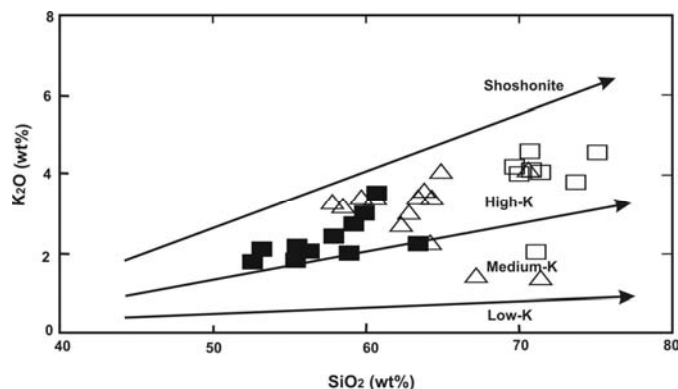


شکل ۸- نمودار La/Yb در برابر Th/Y (Condie, 1989) بیشتر نمونه‌ها در محدوده کمان حاشیه قاره‌ای قرار می‌گیرند. (علاوه مشابه شکل ۳).

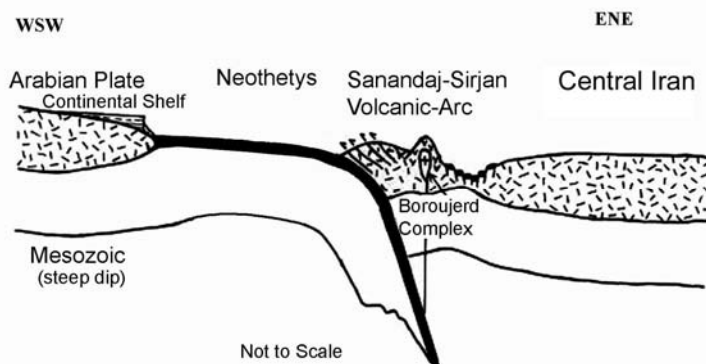
شکل ۱۰- نمودار نسبت لگاریتمی Th/Yb در برابر نسبت لگاریتمی Ta/Y (Schandl & Gorton, 2002). بیشتر نمونه‌های مورد مطالعه در ارتباط با فروراش هستند و در محدوده حاشیه فعال قاره‌ای قرار می‌گیرند. WPB: بازالت‌های درون صفحه‌ای ACM: حاشیه فعال قاره‌ای و WPVZ: مناطق آتش‌شناختی درون صفحه‌ای. (علاوه مشابه شکل ۳).



شکل ۱۱- نمودار SiO_2 دربرابر K_2O با محدوده‌های پیاده شده براساس Gill (1981) بیشتر نمونه‌های منطقه مورد مطالعه در محدوده پتانسیم بالا قرار می‌گیرند. (علاوه مشابه شکل ۳).



شکل ۱۲- موقعیت زمین ساختی گرانیتوئیدهای مزوژوییک زون سنتدج-سیرجان (توده‌ی گرانیتوئیدی بروجرد) (Shahabpour, 2005) با اندکی تغییرات.



جدول ۱ - نتایج تجزیه شیمیایی انواع سنگهای مورد مطالعه (اکسیدهای عناصر اصلی بر حسب درصد وزنی و عناصر فرعی بر حسب PPM).

Sample	گرانیتوئیدها											
	MA3	AS2	GM5	AGH1	G6	G4	G5	AGH6	B1A55	AD4	AKY13	B4A19
SiO ₂	71.4	70.6	67.2	64.9	64.3	63.8	63.4	62.8	60.6	59.7	58.5	57.8
Al ₂ O ₃	0.3	0.3	0.5	0.5	0.6	0.6	0.6	0.7	0.7	0.6	1.0	1.0
Fe ₂ O ₃ (t)	14.7	14.5	15.5	16.0	16.7	16.9	16.1	16.9	17.5	20.2	18.0	18.3
MnO	0.0	0.1	0.0	0.1	0.1	0.1	0.1	0.1	0.1	0.0	0.1	0.1
MgO	2.9	0.9	3.9	1.4	1.6	1.6	1.5	1.8	1.8	1.3	2.4	2.5
CaO	0.3	2.2	0.7	2.5	3.9	3.8	3.8	3.8	4.1	5.2	4.1	4.3
Na ₂ O	4.8	3.0	4.2	3.1	3.1	3.0	2.9	3.4	2.9	3.6	2.5	2.6
K ₂ O	1.3	4.1	1.4	4.0	3.4	3.6	3.4	3.0	3.4	3.4	3.2	3.3
P ₂ O ₅	0.1	0.1	0.2	0.1	0.2	0.1	0.1	0.2	0.3	0.2	0.4	0.1
Ni	12.0	13.0	18.0	18.0	17.0	16.0	19.0	21.0	22.0	10.0	32.0	47.0
Cr	20.0	120.0	40.0	150.0	120.0	120.0	90.0	110.0	150.0	100.0	180.0	160.0
Co	55.3	6.4	41.9	10.2	12.0	11.1	11.1	11.8	12.8	8.9	18.6	19.6
V	31.0	36.0	55.0	60.0	88.0	88.0	81.0	78.0	97.0	50.0	155.0	152.0
U	0.5	5.2	0.9	9.3	3.8	3.5	3.0	4.5	5.8	4.3	4.1	4.7
Rb	40.8	142.5	29.3	146.0	130.5	133.5	122.0	111.0	134.5	133.5	129.5	142.5
Sr	26.9	200.0	65.9	256.0	322.0	319.0	295.0	320.0	338.0	484.0	294.0	330.0
Ba	80.2	441.0	172.5	577.0	598.0	596.0	551.0	549.0	765.0	1150.0	763.0	853.0
Ih	23.0	24.0	23.0	21.0	12.0	10.0	17.0	32.0	2.0	14.0	15.0	25.0
U	2.2	2.7	1.6	1.9	2.4	3.3	2.5	2.3	1.4	2.3	1.9	2.2
Ia	1.5	1.1	1.2	1.0	0.9	1.0	0.9	1.0	0.9	0.8	0.9	1.0
Nb	13.0	12.0	16.0	14.0	14.0	13.0	14.0	17.0	15.0	15.0	19.0	21.0
La	52.3	48.7	28.6	47.3	29.4	44.2	40.7	62.1	19.5	64.0	51.0	76.4
Ce	94.1	93.6	52.2	91.1	59.9	92.6	82.5	104.5	40.8	118.5	103.0	155.0
Pr	10.6	10.0	6.0	9.6	6.4	9.3	8.6	11.8	4.1	11.6	11.0	16.2
Nd	35.8	33.1	21.2	32.3	22.4	31.0	30.0	40.9	15.1	38.8	39.2	56.6
Sm	6.3	6.6	3.9	5.3	4.0	4.8	5.2	5.9	2.3	6.2	7.0	9.4
Hf	0.6	1.2	0.2	1.2	1.0	1.1	0.9	0.9	1.3	2.2	1.3	0.8
Gd	5.7	6.6	3.7	6.0	4.1	4.3	4.7	5.9	2.2	6.3	6.8	8.3
Tb	0.8	0.8	0.5	0.7	0.5	0.6	0.6	0.6	0.2	0.8	0.9	1.0
Uy	4.5	5.1	2.7	3.8	2.9	3.4	3.6	3.0	1.1	3.6	5.3	6.3
Ho	0.9	1.0	0.6	0.7	0.6	0.7	0.7	0.6	0.2	0.5	1.1	1.4
Er	2.8	3.1	1.6	2.0	2.1	2.1	2.0	1.6	0.7	1.2	3.6	4.5
Im	0.4	0.4	0.2	0.2	0.3	0.3	0.3	0.2	0.1	0.1	0.5	0.6
Yb	2.7	2.9	1.5	1.7	2.0	2.3	1.8	1.4	0.7	0.8	3.4	4.5
Lu	0.4	0.4	0.2	0.2	0.3	0.4	0.3	0.2	0.1	0.1	0.5	0.6
Y	27.8	27.2	15.2	19.2	18.8	20.2	19.6	13.8	6.7	15.0	31.6	37.4
Hf	5.0	5.0	6.0	5.0	6.0	6.0	6.0	7.0	6.0	9.0	8.0	9.0
Er	147.5	162.5	210.0	179.5	203.0	203.0	198.5	227.0	232.0	341.0	274.0	287.0
Zn	10.0	27.0	18.0	43.0	56.0	52.0	51.0	48.0	58.0	53.0	83.0	124.0
Ga	15.0	17.0	15.0	21.0	22.0	20.0	21.0	20.0	20.0	25.0	22.0	26.0
Sn	2.0	2.0	2.0	1.0	1.0	1.0	1.0	2.0	2.0	1.0	2.0	2.0
W	550.0	5.0	420.0	15.0	6.0	9.0	4.0	7.0	8.0	5.0	10.0	5.0
Hf/Hf ⁺	0.3	0.6	0.2	0.7	0.8	0.7	0.6	0.5	1.8	1.1	0.6	0.3
(La/Yb) _n	13.0	11.2	12.7	18.6	9.8	12.9	15.1	29.7	18.6	53.5	10.0	11.4

ادامه جدول ۱

Sample	کوارتزدیبوریت‌ها										
	G14	G16	G18	G19	B2A31	GM25	G12	G11	AG2	B2A28	B2A33
SiO ₂	63.4	60.7	59.9	59.2	58.9	57.9	56.3	55.5	55.4	53.2	52.6
TiO ₂	0.6	0.6	0.6	0.8	0.7	0.6	0.9	0.7	1.3	0.7	0.6
Al ₂ O ₃	16.6	14.9	15.4	15.9	16.2	15.3	17.1	15.9	16.8	15.6	15.2
Fe ₂ O ₃ (t)	6.0	6.4	6.6	7.1	7.1	6.9	8.0	7.8	8.6	8.7	8.7
MnO	0.1	0.1	0.1	0.1	0.1	0.1	0.2	0.2	0.2	0.2	0.2
MgO	3.3	4.3	4.6	4.8	4.7	6.5	5.1	6.5	4.6	7.6	8.4
CaO	5.6	5.2	5.6	5.5	5.9	6.1	6.9	6.4	7.3	7.8	8.9
Na ₂ O	1.4	2.2	2.3	2.4	2.5	2.4	2.5	2.5	2.7	2.3	1.9
K ₂ O	2.3	3.5	3.0	2.8	2.0	2.5	2.1	2.2	1.8	2.1	1.8
P ₂ O ₅	0.2	0.1	0.1	0.2	0.1	0.1	0.2	0.1	0.3	0.1	0.1
Ni	37.0	53.0	57.0	63.0	49.0	115.0	75.0	101.0	38.0	86.0	103.0
Cr	280.0	280.0	280.0	330.0	320.0	420.0	380.0	450.0	150.0	490.0	690.0
Co	20.0	20.3	20.6	22.9	23.8	48.0	27.8	28.7	54.5	31.9	36.4
V	176.0	144.0	144.0	148.0	150.0	170.0	204.0	210.0	168.0	217.0	274.0
Cs	9.9	6.0	6.2	7.5	4.7	10.0	5.4	4.6	4.2	3.2	3.5
Rb	103.0	128.0	105.0	111.0	77.4	106.5	88.2	101.0	66.6	78.8	65.9
Sr	299.0	263.0	269.0	261.0	231.0	347.0	347.0	388.0	334.0	197.0	202.0
Ba	242.0	596.0	388.0	372.0	361.0	407.0	356.0	454.0	296.0	236.0	238.0
Th	4.0	24.0	7.0	13.0	5.0	11.0	9.0	10.0	7.0	5.0	5.0
U	2.5	3.0	2.0	1.8	2.3	2.1	2.4	2.6	1.9	1.4	1.2
Ta	0.8	1.0	0.9	0.9	0.9	0.9	0.9	0.7	1.1	0.5	0.5
Nb	8.0	12.0	10.0	12.0	10.0	10.0	12.0	9.0	13.0	7.0	8.0
La	13.8	68.3	19.4	33.8	16.4	28.8	27.2	24.1	19.0	16.6	20.0
Ce	32.9	146.5	44.2	72.3	41.5	55.6	57.6	50.1	44.4	39.4	50.7
Pr	3.8	14.8	5.4	7.9	5.7	6.7	6.7	5.8	5.1	4.4	6.1
Nd	14.8	49.4	20.9	28.7	24.0	24.0	25.0	21.8	19.8	16.2	23.9
Sm	3.9	8.3	4.4	5.6	5.4	4.8	5.0	4.4	4.8	3.5	5.0
Eu	0.1	1.1	0.7	1.2	0.8	1.1	0.4	0.1	1.1	0.8	0.1
Gd	3.8	7.8	4.6	5.6	5.3	4.6	5.1	4.1	4.5	3.8	5.2
Tb	0.6	1.0	0.7	0.8	0.8	0.7	0.7	0.6	0.6	0.5	0.8
Dy	3.7	5.7	4.2	4.4	5.1	3.8	4.3	3.5	3.8	3.5	4.6
Ho	0.7	1.1	0.9	0.9	1.0	0.8	0.8	0.8	0.7	0.7	1.0
Er	2.1	3.4	2.6	2.6	3.2	2.3	2.6	2.2	2.1	2.1	2.9
Tm	0.3	0.5	0.4	0.4	0.5	0.3	0.4	0.3	0.3	0.3	0.4
Yb	1.9	3.4	2.5	2.6	3.2	2.3	2.5	2.2	2.0	2.0	2.8
Lu	0.3	0.5	0.4	0.4	0.5	0.3	0.4	0.3	0.3	0.3	0.4
Y	20.4	30.7	22.5	23.3	30.2	21.6	23.4	19.8	18.2	18.4	26.6
Hf	4.0	4.0	5.0	5.0	4.0	5.0	5.0	5.0	3.0	2.0	2.0
Zr	117.0	116.0	139.0	179.5	123.5	164.0	161.5	175.5	90.0	77.6	71.6
Zn	96.0	70.0	62.0	69.0	58.0	68.0	127.0	118.0	79.0	63.0	114.0
Ga	19.0	18.0	17.0	19.0	18.0	18.0	22.0	20.0	19.0	16.0	18.0
Sn	5.0	3.0	2.0	2.0	2.0	6.0	3.0	4.0	3.0	1.0	2.0
W	9.0	5.0	3.0	4.0	14.0	217.0	8.0	5.0	269.0	1.0	3.0
Eu/Eu*	0.1	0.4	0.5	0.7	0.5	0.7	0.2	0.1	0.7	0.7	0.0
(La/Yb) _n	4.9	13.4	5.2	8.7	3.4	8.4	7.3	7.3	6.4	5.8	4.8

ادامه جدول ۱

Sample	آنکارو مای دیکتو گرانو دوریتی			موزرو گرانیتا							
	AGH2	B2A24	AD	G22	AG19	GM11	AB6	AG18	G24	GM10	G23
SiO ₂	64.2	62.3	55.0	75.1	73.7	71.4	71.1	70.8	70.7	70.0	69.7
TiO ₂	0.7	0.6	0.8	0.1	0.3	0.3	0.2	0.4	0.2	0.3	0.2
Al ₂ O ₃	15.7	16.7	18.5	12.8	12.8	14.0	14.5	13.5	14.6	14.1	14.9
Fe ₂ O ₃ (t)	6.0	6.2	7.7	1.1	2.2	3.0	2.0	2.8	2.2	3.5	2.5
MnO	0.1	0.1	0.1	0.0	0.1	0.1	0.0	0.1	0.1	0.1	0.1
MgO	18	24	23	0.1	0.4	0.6	1.2	0.6	0.4	0.7	0.5
CaO	3.6	3.4	1.8	0.5	0.9	1.8	0.9	1.0	1.7	2.1	1.8
Na ₂ O	3.3	3.3	2.5	3.7	3.8	3.0	4.2	3.9	3.8	2.8	4.1
K ₂ O	2.2	2.7	8.3	4.6	3.8	4.1	2.1	4.1	4.6	4.0	4.2
P ₂ O ₅	0.3	0.1	0.1	0.0	0.1	0.1	0.1	0.1	0.0	0.1	0.0
Ni	22.0	19.0	46.0	7.0	7.0	11.0	13.0	20.0	9.0	12.0	8.0
Cr	100.0	100.0	130.0	130.0	100.0	20.0	150.0	10.0	80.0	20.0	110.0
Co	14.2	14.2	14.6	12	54.1	32.9	3.3	54.7	3.7	53.4	3.5
V	64.0	130.0	172.0	3.3	17.0	24.0	23.0	27.0	11.0	29.0	11.0
Cs	9.5	7.0	13.3	3.7	0.8	2.7	2.3	1.1	4.5	6.2	4.5
Rb	162.5	149.5	290.0	189.0	129.0	146.5	63.8	123.5	157.0	166.5	152.5
Sr	260.0	294.0	205.0	27.8	121.5	229.0	114.0	168.0	124.5	239.0	132.5
Ba	363.0	260.0	1105	38.5	320.0	399.0	276.0	631.0	408.0	404.0	372.0
Th	17.0	18.0	14.0	19.0	31.0	15.0	16.0	32.0	11.0	20.0	13.0
U	1.9	3.0	1.7	3.8	5.8	2.6	2.5	5.3	2.4	2.7	2.6
Ta	1.7	0.9	1.0	1.5	32	1.4	1.1	2.6	0.9	1.4	1.1
Nb	19.0	12.0	14.0	9.0	32.0	11.0	10.0	28.0	10.0	11.0	11.0
La	37.3	37.7	30.5	7.3	42.7	32.9	32.5	59.5	20.1	39.7	25.1
Ce	74.7	71.3	63.5	18.0	74.6	64.6	64.1	101.5	40.5	77.4	54.5
Pr	7.8	7.8	6.8	2.4	7.2	6.9	6.5	9.7	4.2	8.3	5.6
Nd	27.2	27.1	24.2	9.8	23.0	23.7	22.3	29.6	15.0	28.7	20.3
Sm	5.4	4.7	4.7	4.0	4.5	4.5	4.5	5.2	3.3	5.2	4.4
Eu	1.1	0.8	1.4	0.1	0.9	0.7	0.7	0.1	0.4	0.5	0.2
Gd	5.8	4.9	3.8	5.7	4.6	4.1	4.2	5.3	3.6	5.1	4.2
Tb	0.8	0.6	0.4	1.2	0.7	0.6	0.6	0.7	0.6	0.7	0.6
Dy	5.2	3.2	2.4	8.8	4.2	3.5	3.7	4.0	3.5	3.9	4.1
Ho	1.0	0.6	0.5	2.0	0.8	0.7	0.7	0.8	0.7	0.8	0.8
Er	3.0	1.8	1.4	6.0	2.5	1.9	2.2	2.5	2.1	2.2	2.7
Tm	0.5	0.2	0.2	1.0	0.4	0.3	0.3	0.4	0.3	0.3	0.4
Yb	3.1	1.6	1.3	6.6	2.9	2.0	2.4	2.6	2.1	2.2	2.6
Lu	0.4	0.2	0.2	0.9	0.4	0.3	0.3	0.4	0.3	0.3	0.4
Y	27.2	17.1	12.7	59.5	22.8	19.2	20.2	22.8	20.3	21.0	23.3
Hf	7.0	5.0	5.0	4.0	5.0	4.0	4.0	6.0	4.0	4.0	5.0
Zr	235.0	145.5	157.5	81.5	178.0	116.5	106.0	230.0	128.0	137.0	149.0
Sn	56.0	53.0	69.0	16.0	30.0	29.0	13.0	79.0	39.0	35.0	47.0
Ga	24.0	20.0	22.0	16.0	19.0	17.0	17.0	20.0	17.0	17.0	17.0
Ge	2.0	1.0	4.0	3.0	3.0	2.0	3.0	4.0	4.0	2.0	4.0
W	6.0	4.0	2.0	8.0	469.0	225.0	8.0	416.0	11.0	429.0	11.0
Eu/Eu'	0.6	0.5	1.0	0.0	0.6	0.5	0.5	0.0	0.4	0.3	0.1
(La/Yb)	8.0	15.8	15.7	0.7	9.8	11.0	9.1	15.3	6.4	12.1	6.5

جدول ۲ - ضرایب و اعداد ثابت برای تفکیک گرانیتهای کوهزایی از ناکوهزایی (Agrawal, 1995).

X	B	M_i (mean score)	C_i (cut of value)	B_0 (constant)
Fe2O3	0.929241			
MgO	-2.570311	-0.4898	0.2915	-11.75422
Na2O	1.246346			
K2O	1.266569			

جدول ۳- نتایج محاسبات انجام شده D_i و R برای سنگهای مورد مطالعه و تفکیک انواع کوهزایی از ناکوهزایی. مقدار R برای همه نمونه‌ها مثبت و در نتیجه توده گرانیتوبیدی بروجرد از نوع کوهزایی است.

SAMPLE	D_i	$D_i \cdot C_i$	$M_i \cdot C_i$	R
AGH1	-2.22306	-2.51456	-0.7813	3.218431
AS2	-1.86802	-2.15952	-0.7813	2.764011
AGH6	-2.94696	-3.23846	-0.7813	4.144964
AD4	-2.18494	-2.47644	-0.7813	3.169639
AGH2	-3.829	-4.1205	-0.7813	5.273903
B2A24	-4.65729	-4.94879	-0.7813	6.334051
AB6	-5.09146	-5.38296	-0.7813	6.889753
GM11	-1.65822	-1.94972	-0.7813	2.495484
GM10	-1.64418	-1.93568	-0.7813	2.477511
AG18	-0.73966	-1.03116	-0.7813	1.319805
AG19	-1.32556	-1.61706	-0.7813	2.06971
G22	-0.60362	-0.89512	-0.7813	1.145683
G23	-0.25604	-0.54754	-0.7813	0.700801
G24	-0.25279	-0.54429	-0.7813	0.696648
AKY13	-3.31919	-3.61069	-0.7813	4.621385
B1A55	-2.31954	-2.61104	-0.7813	3.341921
B4A19	-2.77037	-3.06187	-0.7813	3.918948
G4	-2.55118	-2.84268	-0.7813	3.638399
G5	-2.89941	-3.19091	-0.7813	4.084108
G6	-2.74668	-3.03818	-0.7813	3.888618
B2A28	-17.6983	-17.9898	-0.7813	23.02548
B2A31	-11.71115	-12.003	-0.7813	15.3628
B2A33	-20.5805	-20.872	-0.7813	26.714446
G11	-15.2941	-15.5856	-0.7813	19.94827
G12	-11.8718	-12.1633	-0.7813	15.56797
GM25	-15.9385	-16.23	-0.7813	20.7731
AG2	-9.93547	-10.227	-0.7813	13.08968
G14	-9.95933	-10.2508	-0.7813	13.12022
G16	-9.59563	-9.88713	-0.7813	12.65472
G18	-10.5938	-10.8853	-0.7813	13.93234
G19	-11.0159	-11.3074	-0.7813	14.47252
GM5	-12.778	-13.0695	-0.7813	16.72791
MA3	-10.5025	-10.794	-0.7813	13.81547
AD	2.931517	2.640017	-0.7813	-3.37901

کتابنگاری

- آفتاباتی، س.ع. ۱۳۷۱- معرفی رویداد زمین ساختی کیمرین میانی (ژوراسیک میانی)، فصلنامه علوم زمین، شماره ۶، صفحات ۲-۵.
- احمدی خلجمی، ا.، ولیزاده، م. و اسماعیلی، د. ۱۳۸۴- پترولوزی و ژنوشیمی توده‌ی گرانیتوئیدی بروجرد (غرب ایران)، مجله دانشکده علوم، دانشگاه تهران (زیر چاپ).
- احمدی خلجمی، ا.، ۱۳۷۸- بررسی پترولوزی و پتروفاربریک توده‌های نفوذی و دگرگونی مجاورتی منطقه بروجرد، پایان‌نامه کارشناسی ارشد، دانشکده علوم، دانشگاه رادفر، ج.، ۱۳۶۶- بررسیهای زمین‌شناسی و پترولوزی سنگهای گرانیتوئیدهای ناحیه آستانه- گوش، پایان‌نامه کارشناسی ارشد، دانشکده علوم، دانشگاه سبزه‌بی، م.، ۱۳۷۱- نقشه زمین‌شناسی حاجی‌آباد، مقیاس ۱:۲۵۰۰۰۰، سازمان زمین‌شناسی کشور.
- سهیلی، م.، ۱۳۷۱- نقشه زمین‌شناسی ۱:۲۵۰۰۰۰ چهارگوش خرم‌آباد، سازمان زمین‌شناسی کشور.
- قادری، م.، رمضانی، ج.، ولیزاده، م. و فردین‌دوست، ز.، و احمدی‌خلجمی، ا.، ۱۳۸۳- تعیین سن اورانیم - سرب کمپلکس نفوذی ژوراسیک بروجرد و توده‌های وابسته در زون سندنج - سیرجان، مجموعه مقالات بیست و سومین گردهمایی علوم زمین، سازمان زمین‌شناسی و اکتشافات معدنی کشور.
- نبوی، م.ح.، ۱۳۵۵- دیباچه‌ای بر زمین‌شناسی ایران، سازمان زمین‌شناسی و اکتشافات معدنی کشور، ۱۰۹ اص.
- واعظی‌پور، م.ج.، و اقلیمی، ب.، ۱۳۶۳- یافته‌های نوین در نهشته‌های ژوراسیک ناحیه لکان (چهارگوش گلپایگان)، گزارش داخلی، سازمان زمین‌شناسی و اکتشافات معدنی کشور.

References

- Agrawal, S., 1995- Discrimination between late-orogenic, post-orogenic and anrogenic granites by major element compositions. *The journal of geology*, 103, 529 – 537.
- Ashworth, J.R., 1985- Migmatites: Blackie, New York.
- Batchelor, R.A. and Bowden, P., 1985- Petrogenetic interpretation of granitoid rock series using multicationic parameters. *Chem. Geol.* 48, pp. 43–55.
- Berberian, M., 1983- Generalized tectonic map of Iran. In: Berberian, M., (Ed.), Continental Deformation in the Iranian Plateau, Geological Survey of Iran, Report No. 52.
- Berberian, M. and King G.C.P., 1981- To wards a paleogeography and tectonic evolution of Iran. *Canadian journal of Earth sciences*.vol.18, No.2.pp.210-265.
- Berberian, M., 1977- Three phases of metamorphism in Haji-Abad quadrangle (southern extremity of the Sanandaj–Sirjan structural Zone): a palaeotectonic discussion. In: M. Berberian, Editor, Geological Survey of Iran, Report 40, Tehran, Iran Geological Survey of Iran, Report 40, Tehran, Iran .pp. 239–263.
- Berberian, M. and Nogol, M., 1974- Preliminary explanatory text of the geology of Deh Sard and Khabr maps with some remarks on the metamorphic complexes and the tectonics of the area (two geological maps 1:100000, from the Hadjiabad quadrangle map). G.S. of Iran, internal report, 60 p.
- Berberian, M., 1972- A brief note on early Kimmerian orogeny and high grade metamorphism in Sanandaj-Sirjan belt, Iran. Geological Survey of Iran, internal report.
- Berthier,F; Billiaul, H.P; Halbroronn, B and Marizot, p.,1974- Etude Stratigraphique, petrologique et structural de La region de khorramabad (zagros, Iran) - These De 3e cycle,Grenoble,282.p.
- Chappell, B.W., White, A.J.R., 1974- Two contrasting granite types. *Pacific Geology* 8, 173–174.
- Condie, K.C., 1989- Geochemical changes in basalts and andesites across the Archean–Proterozoic boundary: identification and significance. *Lithos* 23, pp. 1–18.
- Floyd, P.A. and Winchester, J.A., 1975- Magma type and tectonic setting discrimination using immobile elements. *Earth and Planetary Science Letters* 27, pp. 211–218.
- Froster,H.J., Tischendorf, G. and Trumbull, R.B., 1997- An evaluation of the Rb vs. (Y+Nb) discrimination diagram to infer tectonic setting of silicic igneous rocks. *Lithos* 40, pp. 261–293.
- Gill, J.B., 1981- Orogenic Andesite and Plate Tectonics, Springer Verlag, New York , p. 390.
- Gorton, M. P., and Schandl, E. S., 2000- From continental to island arc: A geochemical index of tectonic setting for arc-related and within plate felsic to intermediate volcanic rocks. *Canadian Mineralogist*, Vol. 38, pp. 1065-1073.
- Harris, N.B.W., Pearce, J.A., Tindle, A.G., 1986- Geochemical characteristics of collision-zone magmatism. In: Coward, M.P., Ries, A.C. (Eds.), Collision Tectonics. Geological Society London, Special Publication 19, pp. 67–81.
- Irvine, T.N. and Baragar, W.R.A., 1971- A guide to the chemical classification of the common volcanic rocks. *Can. J. Earth Sci.*, 8,523-484.

- Masoudi, F., 1997- Contact metamorphism and pegmatite development in the region SW of Arak, Iran, Unpublished PhD Thesis, Leeds University, UK.
- Mohajel, M., Fergusson, C.L., Sahandi, M.R., 2003- Cretaceous-Tertiary convergence and continental collision, Sanandaj-Sirjan zone, Western Iran. Journal of Asian earth Sciences 21, 397–412.
- Pearce, J.A., Harris, N.B.W. and Tindle, A.G., 1984- Trace element discrimination diagrams for the tectonic interpretation of granitic rocks. Juornal of petrology, 25, 956 – 983.
- Pitcher, W.S., 1987- Granites and yet more granites forty years on: Geologische Rundschau, v.76, p.51-79.
- Roberts M.P. and Clemens, J.D., 1993- Origin of high-potassium, calc-alkaline, I-type granitoids. Geology 21, pp. 825–828.
- Rogers, G. and Hawkesworth, C.J., 1989- A geochemical traverse across the North Chilean Andes: evidence for crust generation from the mantle wedge. Earth and Planetary Science Letters 91, pp. 271–285.
- Sajona, F.G., Maury, R.C., Bellon, H., Cotton, J. and Defant, M., 1996- High field strength elements of Pliocene-Pleistocene island-arc basalts Zamboanga Peninsula, Western Mindanao (Philippines), Journal of Petrology 37, pp. 693–726.
- Schandl, E. S., and Gorton, M. P., 2002- Appplcation of high field strength elements to discriminate tectonic setting in VMS environments. Economic Geology, Vol. 97, pp. 629–642.
- Shahabpour, J., 2005- Tectonic evolution of the orogenic belt in the region located between Kerman and Neyriz. Journal of Asian Earth Sciences 24, 405-417.
- Thompson, A.B., 1982- Magmatism of the Bristish Terciary volcanic Province, Scott. J. Geol. 18, pp. 50–107.
- Wilson, M., 1989- Igneous petrogenesis, Unwin Hyman London., 466 p.

*گروه زمین‌شناسی، دانشکده علوم، دانشگاه تهران

*Department of Geology, Faculty of Science, University of Tehran, Tehran, Iran